

Dernière mise à jour	MECA1	Denis DEFAUCHY
05/04/2023	Cinématique	Résumé

Mécanique

MECA1 - Cinématique

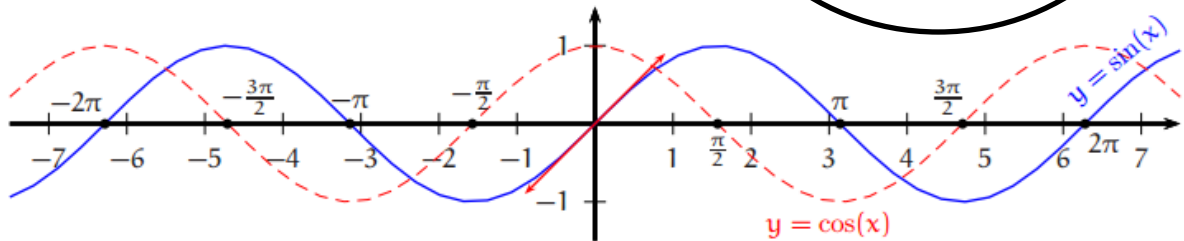
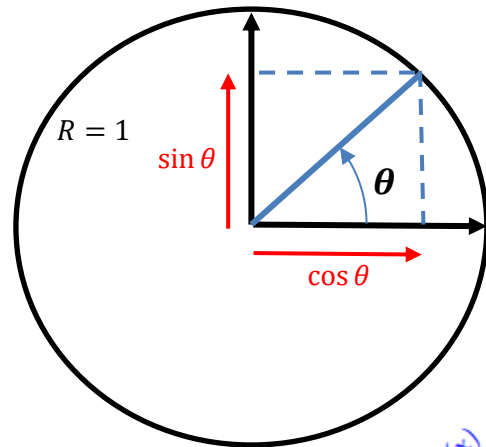
Résumé



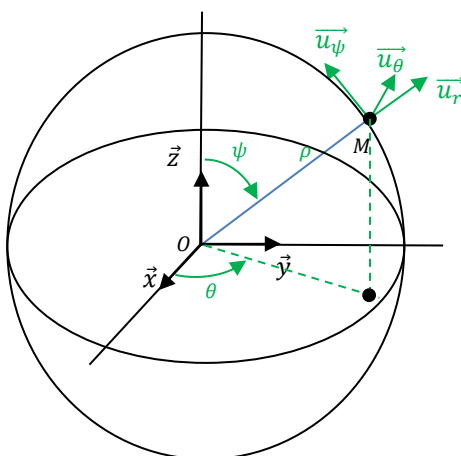
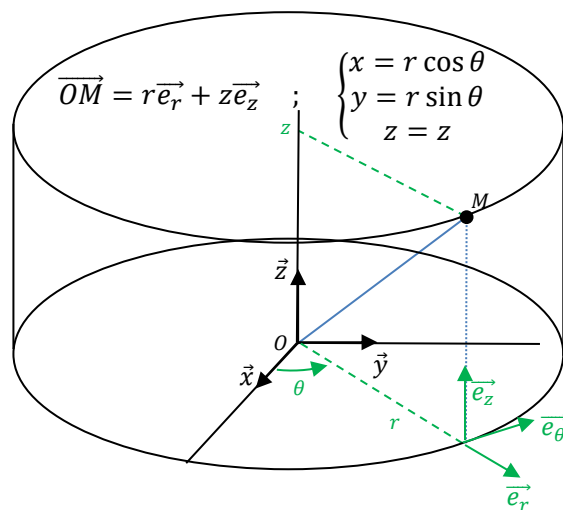
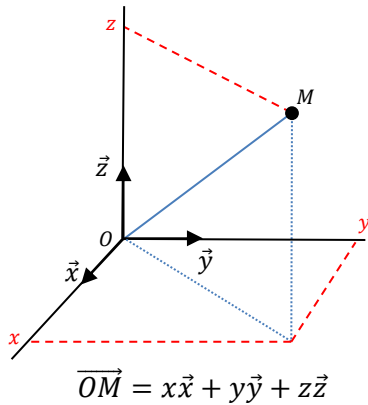
Trigonométrie

θ en degrés	0	30	45	60	90
θ en radians	0	$\frac{\pi}{6}$	$\frac{\pi}{4}$	$\frac{\pi}{3}$	$\frac{\pi}{2}$
$\sin \theta$	0	$\frac{1}{2}$	$\frac{\sqrt{2}}{2}$	$\frac{\sqrt{3}}{2}$	1
$\cos \theta$	1	$\frac{\sqrt{3}}{2}$	$\frac{\sqrt{2}}{2}$	$\frac{1}{2}$	0

θ degrés \rightarrow radians	θ radians \rightarrow degrés
$180^\circ \rightarrow \pi \text{ rd}$	$\pi \text{ rd} \rightarrow 180^\circ$
$\theta^\circ \rightarrow \frac{\pi}{180} \theta$	$\theta \text{ rd} \rightarrow \frac{180}{\pi} \theta$



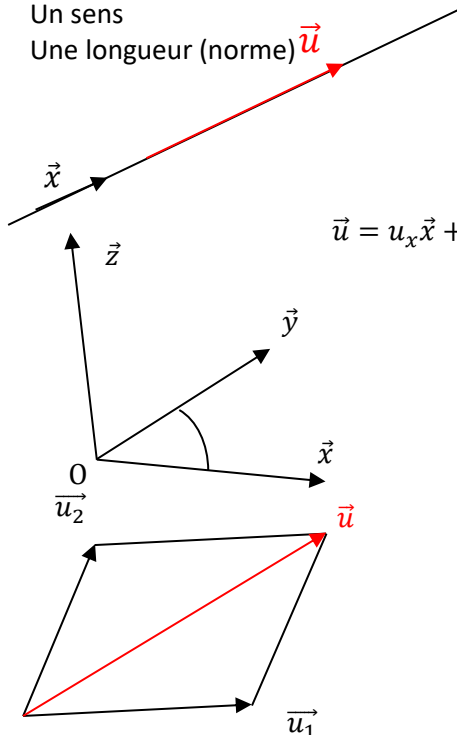
Repérage d'un point



Un vecteur \vec{u} est défini par :

- Une direction
- Un sens
- Une longueur (norme) \vec{u}

Vecteurs



$$\vec{x} = \begin{bmatrix} 1 \\ 0 \\ 0 \end{bmatrix}^{\mathfrak{B}} \quad ; \quad \vec{y} = \begin{bmatrix} 0 \\ 1 \\ 0 \end{bmatrix}^{\mathfrak{B}} \quad ; \quad \vec{z} = \begin{bmatrix} 0 \\ 0 \\ 1 \end{bmatrix}^{\mathfrak{B}}$$

$$\vec{u} = u_x \vec{x} + u_y \vec{y} + u_z \vec{z} = u_x \begin{bmatrix} 1 \\ 0 \\ 0 \end{bmatrix}^{\mathfrak{B}} + u_y \begin{bmatrix} 0 \\ 1 \\ 0 \end{bmatrix}^{\mathfrak{B}} + u_z \begin{bmatrix} 0 \\ 0 \\ 1 \end{bmatrix}^{\mathfrak{B}} = \begin{bmatrix} u_x \\ u_y \\ u_z \end{bmatrix}^{\mathfrak{B}}$$

$$\vec{u} = \pm \|\vec{u}\| \vec{x} = u \vec{x}$$

$$\|\vec{u}\| = |u|$$

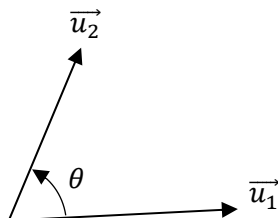
$$\|\vec{u}\| = \sqrt{u_x^2 + u_y^2 + u_z^2}$$

$$\vec{u}_1 = u_1 \vec{x}_1 \quad ; \quad u_1 \in \mathbb{R}$$

$$\vec{u}_2 = u_2 \vec{x}_2 \quad ; \quad u_2 \in \mathbb{R}$$

$$\vec{u} = \vec{u}_1 + \vec{u}_2 = u_1 \vec{x}_1 + u_2 \vec{x}_2$$

Produit scalaire



$$\vec{u}_1 \cdot \vec{u}_2 = \|\vec{u}_1\| \|\vec{u}_2\| \cos(\widehat{(\vec{u}_1, \vec{u}_2)})$$

$$\vec{u}_1 \cdot \vec{u}_2 = |u_1 u_2| \cos(\theta)$$

$$\text{si } \vec{u}_1 \perp \vec{u}_2 \Rightarrow \vec{u}_1 \cdot \vec{u}_2 = 0 \text{ car } \cos\left(\frac{\pi}{2}\right) = 0$$

$$\vec{x} \cdot \vec{x} = 1 \quad ; \quad \vec{y} \cdot \vec{y} = 1 \quad ; \quad \vec{z} \cdot \vec{z} = 1$$

$$\vec{x} \cdot \vec{y} = \vec{x} \cdot \vec{z} = \vec{y} \cdot \vec{z} = 0$$

$$\vec{u}_1 = x_1 \vec{x} + y_1 \vec{y} + z_1 \vec{z} = \begin{bmatrix} x_1 \\ y_1 \\ z_1 \end{bmatrix}^{\mathfrak{B}} \quad ; \quad \vec{u}_2 = x_2 \vec{x} + y_2 \vec{y} + z_2 \vec{z} = \begin{bmatrix} x_2 \\ y_2 \\ z_2 \end{bmatrix}^{\mathfrak{B}}$$

$$\vec{u}_1 \cdot \vec{u}_2 = (x_1 \vec{x} + y_1 \vec{y} + z_1 \vec{z}) \cdot (x_2 \vec{x} + y_2 \vec{y} + z_2 \vec{z}) = x_1 x_2 + y_1 y_2 + z_1 z_2$$

$$\vec{u}_1 \cdot \vec{u}_2 = \begin{bmatrix} x_1 \\ y_1 \\ z_1 \end{bmatrix}^{\mathfrak{B}} \cdot \begin{bmatrix} x_2 \\ y_2 \\ z_2 \end{bmatrix}^{\mathfrak{B}} = x_1 x_2 + y_1 y_2 + z_1 z_2$$

$$\begin{bmatrix} x_1 \\ y_1 \\ z_1 \end{bmatrix}^{\mathfrak{B}} \cdot \begin{bmatrix} x_2 \\ y_2 \\ z_2 \end{bmatrix}^{\mathfrak{B}} = x_1 x_2 + y_1 y_2 + z_1 z_2$$

Projections

\vec{u}

\vec{x}

θ

L

$$\|\vec{u} \cdot \vec{x}\| = L = \|\vec{u}\| \|\vec{x}\| \cos \theta = |u \cos \theta|$$

$$\vec{u} \cdot \vec{x} = \begin{bmatrix} u \\ 0 \\ 0 \end{bmatrix}^{\mathcal{B}_1} \cdot \begin{bmatrix} 1 \\ 0 \\ 0 \end{bmatrix}^{\mathcal{B}} = \begin{bmatrix} u \cos \theta \\ u \sin \theta \\ 0 \end{bmatrix}^{\mathcal{B}} \cdot \begin{bmatrix} 1 \\ 0 \\ 0 \end{bmatrix}^{\mathcal{B}} = u \cos \theta$$

\vec{y}_j \vec{y}_i \vec{x}_j \vec{x}_i $\vec{z}_i = \vec{z}_j$

θ_{ji}

$$\vec{x}_j = \cos \theta_{ji} \vec{x}_i + \sin \theta_{ji} \vec{y}_i = \begin{pmatrix} \cos \theta_{ji} \\ \sin \theta_{ji} \\ 0 \end{pmatrix}^{\mathcal{B}_i}$$

$$\vec{y}_j = -\sin \theta_{ji} \vec{x}_i + \cos \theta_{ji} \vec{y}_i = \begin{pmatrix} -\sin \theta_{ji} \\ \cos \theta_{ji} \\ 0 \end{pmatrix}^{\mathcal{B}_i}$$

Données

$$\vec{u} = u_x \vec{x} + u_y \vec{y} + u_z \vec{z}$$

$$\vec{v} = v_x \vec{x} + v_y \vec{y} + v_z \vec{z}$$

$$\theta_{v/u} = (\vec{u}, \vec{v})$$

Produit vectoriel

Définition

$$\vec{w} = \vec{u} \wedge \vec{v} = \|\vec{u}\| \cdot \|\vec{v}\| \cdot \sin(\vec{u}, \vec{v}) \vec{n}$$

$$\|\vec{w}\| = \|\vec{u}\| \cdot \|\vec{v}\| \cdot |\sin(\vec{u}, \vec{v})|$$

Le sens de \vec{w} , c'est-à-dire le signe selon \vec{n} du produit vectoriel $\vec{u} \wedge \vec{v}$ est simplement obtenu à l'aide des 3 doigts

$\vec{w} = \vec{u} \wedge \vec{v}$

\vec{u} \vec{v} \vec{n}

$\theta_{v/u}$

\vec{u} \vec{v} \vec{n}

$\theta_{v/u}$

Important : \vec{n} est tel que $(\vec{u}, \vec{v}, \vec{n})$ forme un trièdre direct quand $\theta_{v/u} \in [0, 90]$

Propriétés

$$\vec{u} // \vec{v} \Rightarrow \vec{u} \wedge \vec{v} = \vec{0}$$

$$\vec{v} \wedge \vec{u} = -\vec{u} \wedge \vec{v}$$

$$\forall k \in \mathbb{R}, k \vec{v} \wedge \vec{u} = \vec{v} \wedge k \vec{u}$$

$$\mathcal{A} = \|\vec{u} \wedge \vec{v}\|$$

$$\mathcal{A} = \|\vec{u}\| \cdot \|\vec{v}\| \sin \alpha = \|\vec{u} \wedge \vec{v}\|$$

$$\begin{bmatrix} x_1 \\ y_1 \\ z_1 \end{bmatrix}^{\mathcal{B}} \wedge \begin{bmatrix} x_2 \\ y_2 \\ z_2 \end{bmatrix}^{\mathcal{B}} = \begin{bmatrix} y_1 z_2 - z_1 y_2 \\ z_1 x_2 - x_1 z_2 \\ x_1 y_2 - y_1 x_2 \end{bmatrix}^{\mathcal{B}}$$

$$\begin{bmatrix} x_1 \\ y_1 \\ z_1 \end{bmatrix}^{\mathcal{B}} \wedge \begin{bmatrix} x_2 \\ y_2 \\ z_2 \end{bmatrix}^{\mathcal{B}} = \begin{bmatrix} y_1 z_2 - z_1 y_2 \\ z_1 x_2 - x_1 z_2 \\ x_1 y_2 - y_1 x_2 \end{bmatrix}^{\mathcal{B}}$$

$\vec{x} \wedge \vec{y} = \vec{z}$; $\vec{y} \wedge \vec{z} = \vec{x}$; $\vec{z} \wedge \vec{x} = \vec{y}$
 $\vec{y} \wedge \vec{x} = -\vec{z}$; $\vec{z} \wedge \vec{y} = -\vec{x}$; $\vec{x} \wedge \vec{z} = -\vec{y}$

Dernière mise à jour	MECA1	Denis DEFAUCHY
05/04/2023	Cinématique	Résumé

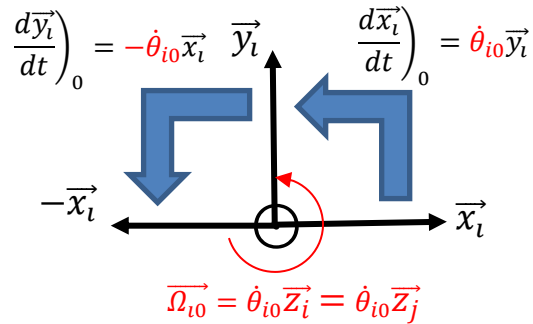
Changement de base de dérivation

Formule de Bour

Soient deux bases $\mathcal{B}_i(\vec{x}_i, \vec{y}_i, \vec{z}_i)$
et $\mathcal{B}_j(\vec{x}_j, \vec{y}_j, \vec{z}_j)$ et un vecteur \vec{v}

$$\left(\frac{d\vec{v}}{dt}\right)_i = \left(\frac{d\vec{v}}{dt}\right)_j + \vec{\Omega}_{j/i} \wedge \vec{v}$$

Remarque : $\forall \mathcal{B}_i, \left(\frac{df(t)}{dt}\right)_i = \frac{df(t)}{dt} = f'(t)$



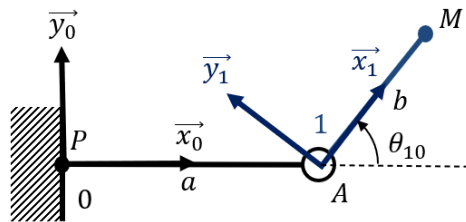
Cinématique du point

$$\vec{OM} = X_M \vec{x}_0 + Y_M \vec{y}_0 + Z_M \vec{z}_0$$

$$\begin{aligned} \vec{V}(M/0) &= \left(\frac{d\vec{OM}}{dt}\right)_0 \\ &= \frac{dX_M}{dt} \vec{x}_0 + \frac{dY_M}{dt} \vec{y}_0 + \frac{dZ_M}{dt} \vec{z}_0 \\ &= \dot{X}_M \vec{x}_0 + \dot{Y}_M \vec{y}_0 + \dot{Z}_M \vec{z}_0 \end{aligned}$$

Si P fixe dans R_0 : $\vec{V}(M/0) = \left(\frac{d\vec{PM}}{dt}\right)_0$

$$\vec{r}(M/0) = \left(\frac{d\vec{V}(M/0)}{dt}\right)_0 = \ddot{X}_M \vec{x}_0 + \ddot{Y}_M \vec{y}_0 + \ddot{Z}_M \vec{z}_0$$



$$\begin{aligned} \vec{V}(M/0) &= \left(\frac{d(a\vec{x}_0 + b\vec{x}_1)}{dt}\right)_0 = \left(\frac{da\vec{x}_0}{dt}\right)_0 + \left(\frac{db\vec{x}_1}{dt}\right)_0 = b \left(\frac{d\vec{x}_1}{dt}\right)_0 = b \vec{\Omega}_{10} \wedge \vec{x}_1 = b \dot{\theta}_{10} \vec{y}_1 \\ \vec{r}(M/0) &= \left(\frac{d\vec{V}(M/0)}{dt}\right)_0 = \left(\frac{db\dot{\theta}_{10}\vec{y}_1}{dt}\right)_0 = b \left[\left(\frac{d\dot{\theta}_{10}}{dt}\right)_0 \vec{y}_1 + \dot{\theta}_{10} \left(\frac{d\vec{y}_1}{dt}\right)_0 \right] \\ \vec{r}(M/0) &= b \left[\ddot{\theta}_{10} \vec{y}_1 + \dot{\theta}_{10} \left(\frac{d\vec{y}_1}{dt}\right)_0 \right] = b \left[\ddot{\theta}_{10} \vec{y}_1 - \dot{\theta}_{10}^2 \vec{x}_1 \right] \\ \left(\frac{d\vec{y}_1}{dt}\right)_0 &= \left(\frac{d\vec{y}_1}{dt}\right)_1 + \vec{\Omega}_{10} \wedge \vec{y}_1 = \dot{\theta}_{10} \vec{z}_1 \wedge \vec{y}_1 = -\dot{\theta}_{10} \vec{x}_1 \end{aligned}$$

Mécanique du solide

Solide indéformable

$$\forall (P_i, P_j) \in S, \forall t, \|\vec{P_i P_j}\| = cste$$

Propriétés

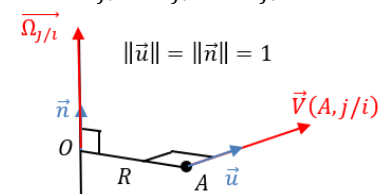
$$\begin{aligned} \vec{V}(A, i/j) &= -\vec{V}(A, j/i) \\ \vec{\Omega}_{ji} &= -\vec{\Omega}_{ij} \end{aligned}$$

Notations

$$\vec{V}(A \in S_j/S_i) \quad \vec{V}(A, S_j/S_i) \quad \vec{V}(A, j/i)$$

Vecteur rotation

$$\vec{\Omega}_{ji} = \Omega_{ji} \vec{n} = \dot{\theta}_{ji} \vec{n}$$



Dernière mise à jour	MECA1	Denis DEFAUCHY
05/04/2023	Cinématique	Résumé

Mécanique du solide

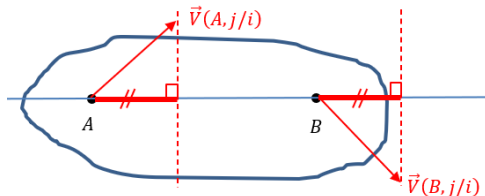
Formule de Varignon – Changement de point

$$\vec{V}(B, j/i) = \vec{V}(A, j/i) + \vec{\Omega}_{ji} \wedge \overrightarrow{AB}$$

$$\vec{V}(B, j/i) = \vec{V}(A, j/i) + \overrightarrow{BA} \wedge \vec{\Omega}_{ji}$$

Equiprojectivité

$$\forall (A, B) \in S_j, \vec{V}(A, j/i) \cdot \overrightarrow{AB} = \vec{V}(B, j/i) \cdot \overrightarrow{AB}$$



Champ des accélérations

$$\vec{I}(B, j/i) = \vec{I}(A, j/i) + \frac{d\vec{\Omega}_{ji}}{dt} \wedge \overrightarrow{AB} + \vec{\Omega}_{ji} \wedge (\vec{\Omega}_{ji} \wedge \overrightarrow{AB})$$

Cas des chaînes fermées

$$\vec{V}(M, 1/0) = \vec{V}(M, 1/3) + \vec{V}(M, 3/0)$$

$$\vec{V}(M, 1/0) = \vec{V}(M, 1/2) + \vec{V}(M, 2/0)$$

Plusieurs chemins permettent d'écrire une vitesse qui aura donc une expression différente, mais évidemment les mêmes valeurs numériques

Pour retenir

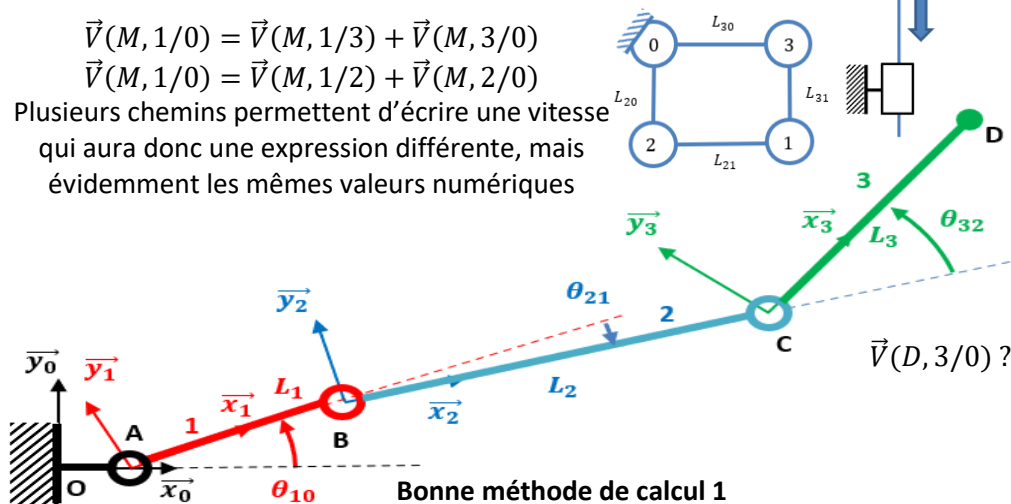
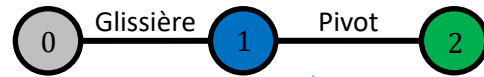
Symétrie : $AB\Omega BA$

Babar : $BABA\Omega$ (BABAR en statique)

Composition du mouvement

$$\vec{V}(M, 2/0) = \vec{V}(M, 2/1) + \vec{V}(M, 1/0)$$

$$\vec{\Omega}_{20} = \vec{\Omega}_{21} + \vec{\Omega}_{10}$$



Bonne méthode de calcul 1

Chasles PUIS dérivation des vecteurs position

$$\vec{V}(D, 3/0) = \frac{d\overrightarrow{AD}}{dt} \Big|_0 = \frac{d(L_1\vec{x}_1 + L_2\vec{x}_2 + L_3\vec{x}_3)}{dt} \Big|_0 = L_1 \frac{d\vec{x}_1}{dt} \Big|_0 + L_2 \frac{d\vec{x}_2}{dt} \Big|_0 + L_3 \frac{d\vec{x}_3}{dt} \Big|_0$$

$$\frac{d\vec{x}_1}{dt} \Big|_0 = \dot{\theta}_{10}\vec{y}_1 \quad ; \quad \frac{d\vec{x}_2}{dt} \Big|_0 = (\dot{\theta}_{21} + \dot{\theta}_{10})\vec{y}_2 \quad ; \quad \frac{d\vec{x}_3}{dt} \Big|_0 = (\dot{\theta}_{32} + \dot{\theta}_{21} + \dot{\theta}_{10})\vec{y}_3$$

$$\vec{V}(D, 3/0) = L_3(\dot{\theta}_{32} + \dot{\theta}_{21} + \dot{\theta}_{10})\vec{y}_3 + L_2(\dot{\theta}_{21} + \dot{\theta}_{10})\vec{y}_2 + L_1\dot{\theta}_{10}\vec{y}_1$$

Bonne méthode de calcul 2

Composition du mouvement PUIS formule de Varignon

$$\vec{V}(D, 3/0) = \vec{V}(D, 3/2) + \vec{V}(D, 2/1) + \vec{V}(D, 1/0)$$

$$\vec{V}(D, 3/2) = \vec{V}(C, 3/2) + \vec{\Omega}_{32} \wedge \overrightarrow{CD} = L_3\dot{\theta}_{32}\vec{y}_3 \quad ; \quad \vec{V}(D, 2/1) = L_3\dot{\theta}_{21}\vec{y}_3 + L_2\dot{\theta}_{21}\vec{y}_2$$

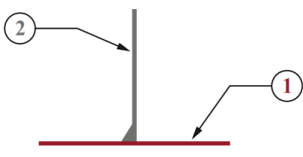
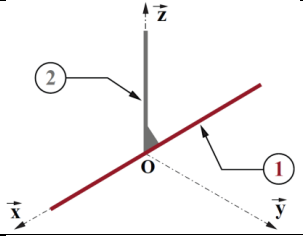
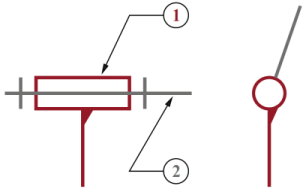
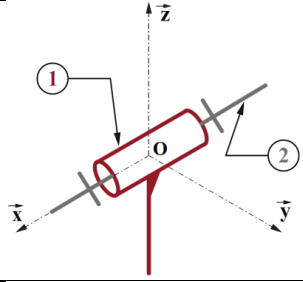
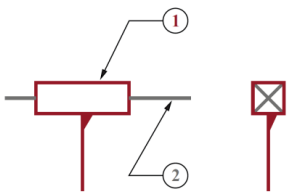
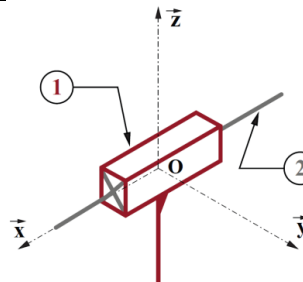
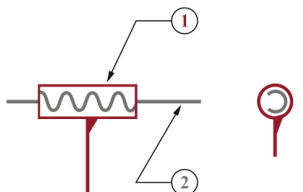
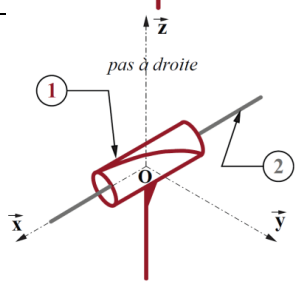
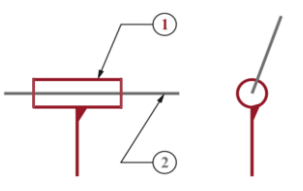
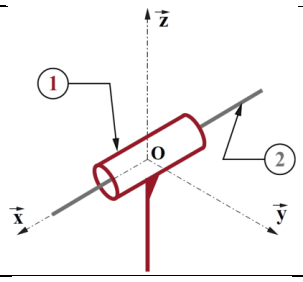
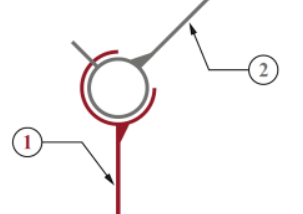
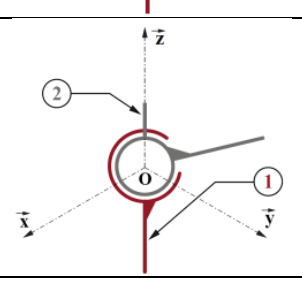
$$\vec{V}(D, 1/0) = L_3\dot{\theta}_{10}\vec{y}_3 + L_2\dot{\theta}_{10}\vec{y}_2 + L_1\dot{\theta}_{10}\vec{y}_1$$

$$\vec{V}(D, 3/0) = L_3(\dot{\theta}_{32} + \dot{\theta}_{21} + \dot{\theta}_{10})\vec{y}_3 + L_2(\dot{\theta}_{21} + \dot{\theta}_{10})\vec{y}_2 + L_1\dot{\theta}_{10}\vec{y}_1$$

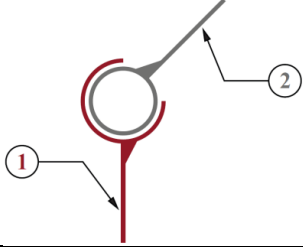
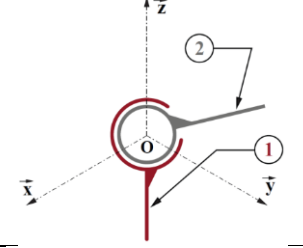
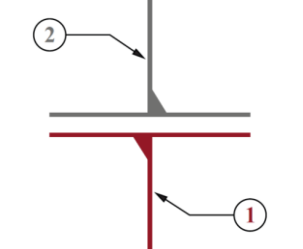
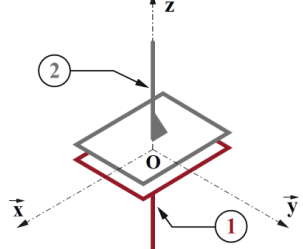
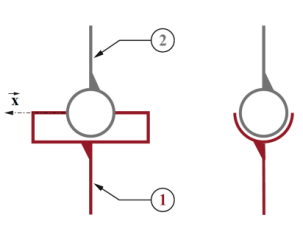
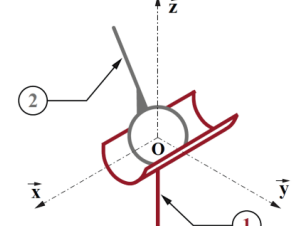
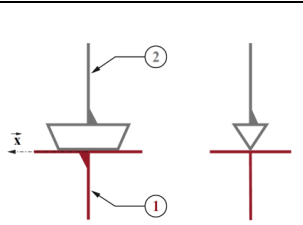
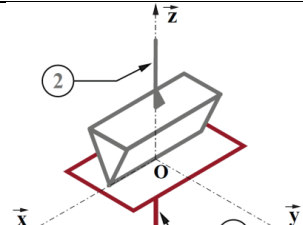
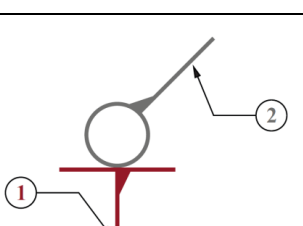
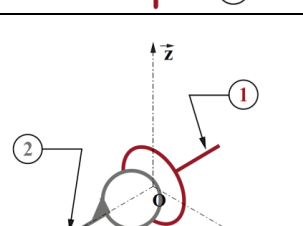
Cas du contact

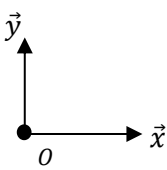
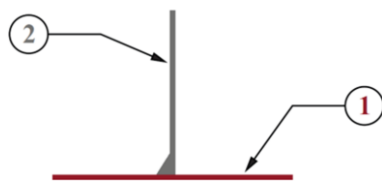
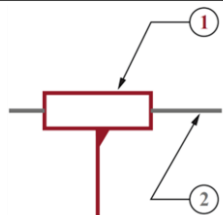

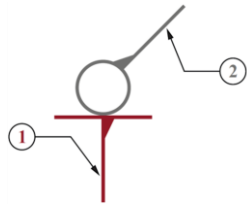
Privilégier la méthode 2

Liaisons normalisées en cinématique

Liaison	Elem Géom	2D	3D	$\{\mathcal{V}_{21}\}$ Forme canonique	Validité	\mathfrak{B}	I_c
Encastrement E	RAS			$\begin{Bmatrix} 0 & 0 \\ 0 & 0 \\ 0 & 0 \end{Bmatrix}_P^{\mathfrak{B}}$	$\forall P$	$\begin{matrix} - \\ - \\ - \end{matrix}$	0
Pivot P	(O, \vec{x})			$\begin{Bmatrix} P_{21} & 0 \\ 0 & 0 \\ 0 & 0 \end{Bmatrix}_P^{\mathfrak{B}}$	(O, \vec{x})	$\begin{matrix} \vec{x} \\ - \\ - \end{matrix}$	1
Glissière Gl	\vec{x}			$\begin{Bmatrix} 0 & U_{21} \\ 0 & 0 \\ 0 & 0 \end{Bmatrix}_P^{\mathfrak{B}}$	$\forall P$	$\begin{matrix} \vec{x} \\ - \\ - \end{matrix}$	1
Hélicoïdale He	(O, \vec{x})			$\begin{Bmatrix} P_{21} & U_{21} \\ 0 & 0 \\ 0 & 0 \end{Bmatrix}_P^{\mathfrak{B}}$ $U_{21} = \frac{pas}{2\pi} P_{21}$	(O, \vec{x})	$\begin{matrix} \vec{x} \\ - \\ - \end{matrix}$	1
Pivot Glissant PG	(O, \vec{x})			$\begin{Bmatrix} P_{21} & U_{21} \\ 0 & 0 \\ 0 & 0 \end{Bmatrix}_P^{\mathfrak{B}}$	(O, \vec{x})	$\begin{matrix} \vec{x} \\ - \\ - \end{matrix}$	2
Rotule à doigt Sphérique à doigt	O Rainure (O, \vec{x}, \vec{z}) Doigt \vec{z}			$\begin{Bmatrix} 0 & 0 \\ Q_{21} & 0 \\ R_{21} & 0 \end{Bmatrix}_P^{\mathfrak{B}}$ $Ref \mathfrak{B}_1 \text{ \& } \mathfrak{B}_2$	O	$\begin{matrix} \vec{x} \\ \vec{y} \\ \vec{z} \end{matrix}$	2

Liaisons normalisées en cinématique

Rotule R Sphérique S	O			$\begin{Bmatrix} P_{21} & 0 \\ Q_{21} & 0 \\ R_{21} & 0 \end{Bmatrix}_P^{\mathcal{B}}$	O	$\begin{matrix} - \\ - \\ - \end{matrix}$	3
Appui plan AP	\vec{z}			$\begin{Bmatrix} 0 & U_{21} \\ 0 & V_{21} \\ R_{21} & 0 \end{Bmatrix}_P^{\mathcal{B}}$	$\forall P$	$\begin{matrix} - \\ - \\ \vec{z} \end{matrix}$	3
Linéaire annulaire LA Sphère cylindre SC	(O, \vec{x})			$\begin{Bmatrix} P_{21} & U_{21} \\ Q_{21} & 0 \\ R_{21} & 0 \end{Bmatrix}_P^{\mathcal{B}}$ $Ref \mathcal{B}_1$	O	$\begin{matrix} \vec{x} \\ - \\ - \end{matrix}$	4
Linéaire rectiligne LR Cylindre Plan CP	$\{(O, \vec{x}), \vec{z}\}$			$\begin{Bmatrix} P_{21} & U_{21} \\ 0 & V_{21} \\ R_{21} & 0 \end{Bmatrix}_P^{\mathcal{B}}$ $Ref \mathcal{B}_1 \text{ \& } \mathcal{B}_2$	(O, \vec{x}, \vec{z})	$\begin{matrix} \vec{x} \\ \vec{y} \\ \vec{z} \end{matrix}$	4
Ponctuelle Pct Sphère-plan SP	(O, \vec{x})			$\begin{Bmatrix} P_{21} & 0 \\ Q_{21} & V_{21} \\ R_{21} & W_{21} \end{Bmatrix}_P^{\mathcal{B}}$ $Ref \mathcal{B}_1$	(O, \vec{x})	$\begin{matrix} \vec{x} \\ - \\ - \end{matrix}$	5

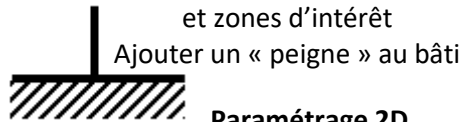
Cas des mécanismes plans dans (O, \vec{x}, \vec{y})				
		$\begin{Bmatrix} 0 & U_{21} \\ 0 & V_{21} \\ R_{21} & 0 \end{Bmatrix}_M^{\mathcal{B}_0}$		
Encastrement		$\begin{Bmatrix} 0 & 0 \\ 0 & 0 \\ 0 & 0 \end{Bmatrix}_P^{\mathcal{B}_0}$	$\forall P$	$I_c^{2D} = 0$
Glissière \vec{x}		$\begin{Bmatrix} 0 & U_{21} \\ 0 & 0 \\ 0 & 0 \end{Bmatrix}_P^{\mathcal{B}_0}$	$\forall P$	$I_c^{2D} = 1$
Pivot (O, \vec{z})		$\begin{Bmatrix} 0 & 0 \\ 0 & 0 \\ R_{21} & 0 \end{Bmatrix}_P^{\mathcal{B}_0}$	(O, \vec{z})	$I_c^{2D} = 1$
Ponctuelle (O, \vec{y})		$\begin{Bmatrix} 0 & U_{21} \\ 0 & 0 \\ R_{21} & 0 \end{Bmatrix}_P^{\mathcal{B}_0}$	(O, \vec{y})	$I_c^{2D} = 2$

Aide-mémoire				
Élément géométrique	1 point O	1 direction \vec{x}	1 axe (O, \vec{x})	Une normale (droite ou plan)
Liaisons concernées	Rotule Rotule à doigt	Glissière Appui Plan	Pivot Pivot Glissant Hélicoïdale <i>Sphère cylindre</i>	Linéaire rectiligne (Droite+Direction) Ponctuelle (Droite)
Lieux de validité	O	$\forall P$	$\forall P \in (O, \vec{x})$	Une normale (droite ou plan)
Liaisons concernées	Rotule Rotule à doigt <i>Sphère Cylindre</i>	Glissière Appui Plan	Pivot Pivot Glissant Hélicoïdale	Linéaire rectiligne (Plan) Ponctuelle (Droite)

Modélisation – Paramétrage – Graphe des liaisons

Classes d'équivalence

Ensemble de pièces sans mouvements relatifs
Représentées par des traits entre les liaisons
et zones d'intérêt



Paramétrage 2D

Numéros de pièces (0,1,2,3 ...) et bases associées

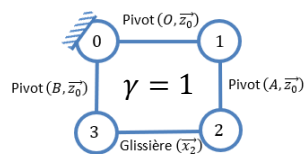
$(\vec{x}_i, \vec{y}_i, \vec{z}_i)$

Vecteurs fixes $(\vec{u}_i, \vec{v}_i, \vec{w}_i)$

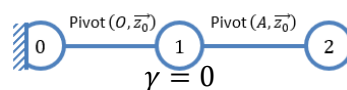
Points (A, B, C, D ...)

Longueurs $(L_1, L_{21}, L_{21} \dots)$ et angles fixes (α_i)

Longueurs (λ_{ji}) avec conventions $(\overrightarrow{AB} = \lambda_{ji} \vec{x}_i)$ et angles variables (θ_{ji})



Graphe des liaisons
Nombre de cycles indépendants
 $\gamma = L - P + 1$



Schémas cinématiques

Ensemble de classes d'équivalences et de liaisons entre ces classes

Schéma cinématique minimal : simplification maximale des mouvements

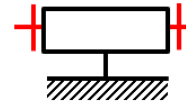
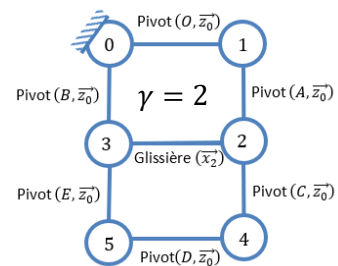
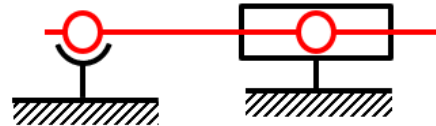


Schéma d'architecture : représentation de chaque liaison fidèle à la réalité

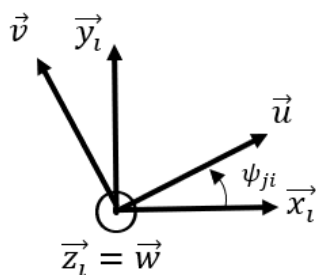
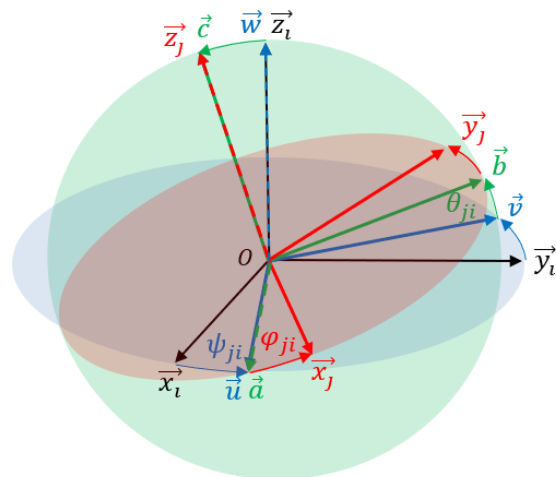


Paramétrage 3D – Les angles d'Euler

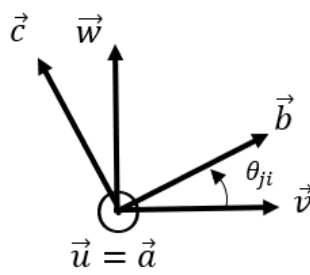
Précession ψ_{ji}

Nutation θ_{ji}

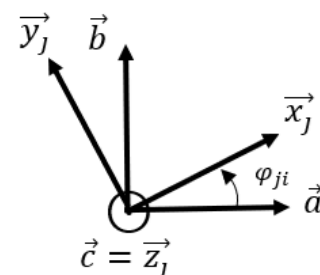
Rotation propre φ_{ji}



$$\begin{cases} \vec{u} = \cos \psi_{ji} \vec{x}_i + \sin \psi_{ji} \vec{y}_i \\ \vec{v} = -\sin \psi_{ji} \vec{x}_i + \cos \psi_{ji} \vec{y}_i \\ \vec{w} = \vec{z}_i \end{cases}$$



$$\begin{cases} \vec{a} = \vec{u} \\ \vec{b} = \cos \theta_{ji} \vec{v} + \sin \theta_{ji} \vec{w} \\ \vec{c} = -\sin \theta_{ji} \vec{v} + \cos \theta_{ji} \vec{w} \end{cases}$$



$$\begin{cases} \vec{x}_j = \cos \varphi_{ji} \vec{a} + \sin \varphi_{ji} \vec{b} \\ \vec{y}_j = -\sin \varphi_{ji} \vec{a} + \cos \varphi_{ji} \vec{b} \\ \vec{z}_j = \vec{c} \end{cases}$$

Méthode d'application de fermeture géométrique plane

Réaliser le graphe des liaisons présentant $\gamma = L - P + 1$ chaînes fermées indépendantes. Il faut réaliser γ fermetures géométriques indépendantes. En 2D, on obtient donc $E_c = 3\gamma$ équations non linéaires à résoudre dans lesquelles les inconnues sont les paramètres géométriques ($\lambda_{ii}, \theta_{ii}$).

Pour chaque chaîne fermée, on obtient :

- Une équation vectorielle par relation de Chasles donnant deux équations scalaires projetées dans une base :

$$\overrightarrow{OO} = \overrightarrow{OA} + \overrightarrow{AB} + \overrightarrow{BC} + \overrightarrow{CO} = \vec{0} \Leftrightarrow \begin{cases} (\overrightarrow{OA} + \overrightarrow{AB} + \overrightarrow{BC} + \overrightarrow{CO}) \cdot \vec{x}_i = 0 \\ (\overrightarrow{OA} + \overrightarrow{AB} + \overrightarrow{BC} + \overrightarrow{CO}) \cdot \vec{y}_i = 0 \end{cases}$$

- Une équation scalaire par fermeture angulaire sur \vec{z}_i (relation de Chasles angulaire) :

$$(\widehat{x_0, x_1}) + (\widehat{x_1, x_2}) + (\widehat{x_2, x_3}) + (\widehat{x_3, x_0}) = 0$$

Exemple :

$$L_1 \vec{x}_1 + L_2 \vec{x}_2 - L_3 \vec{x}_3 - L_0 \vec{x}_0 = \vec{0}$$

$$\Leftrightarrow \begin{cases} L_1 \cos \theta_{10} + L_2 \cos(\theta_{21} + \theta_{10}) - L_3 \cos \theta_{30} - L_0 = 0 \\ L_1 \sin \theta_{10} + L_2 \sin(\theta_{21} + \theta_{10}) - L_3 \sin \theta_{30} = 0 \end{cases}$$

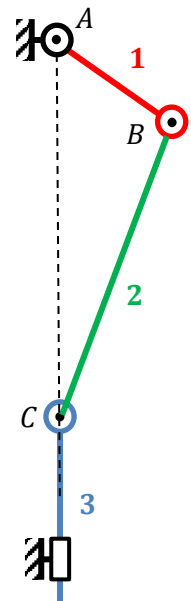
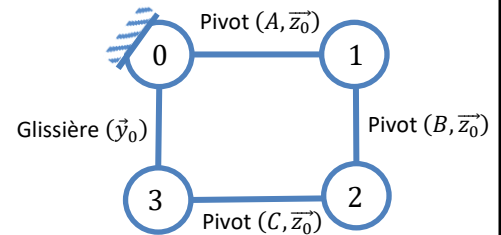
$$(\widehat{x_0, x_1}) + (\widehat{x_1, x_2}) + (\widehat{x_2, x_3}) + (\widehat{x_3, x_0}) = \theta_{10} + \theta_{21} + \theta_{32} + \theta_{03} = 0$$

$$\Leftrightarrow \begin{cases} \theta_{10} + \theta_{21} + \theta_{32} + \theta_{03} = 0 \\ L_1 \cos \theta_{10} + L_2 \cos(\theta_{21} + \theta_{10}) - L_3 \cos \theta_{30} - L_0 = 0 \\ L_1 \sin \theta_{10} + L_2 \sin(\theta_{21} + \theta_{10}) - L_3 \sin \theta_{30} = 0 \end{cases}$$

Dans cet exemple, il est possible d'exprimer 3 paramètres géométriques en fonction d'un 4^e à choisir. Ce n'est pas toujours très évident et les formules peuvent au choix faire apparaître les fonctions \cos^{-1} , \sin^{-1} et \tan^{-1} avec des conditions de validité

De manière générale, à partir du/des système(s) non linéaire obtenu(s), il existe plusieurs stratégies de résolution :

- Mise en place d'une démarche permettant d'établir une relation explicite du type $s = f(e)$ ou $e = f(s)$ (exemple souvent rencontré pour faire disparaître un paramètre angulaire : $\cos^2 \theta + \sin^2 \theta = 1$)
- Obtenir une relation implicite du type $f(e, s) = 0$ à résoudre numériquement avec une méthode type Newton ou Dichotomie.

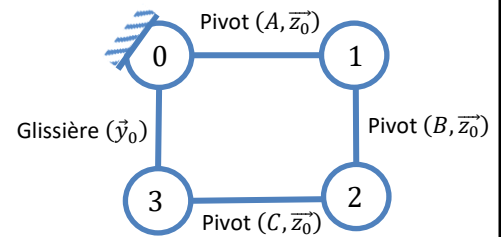


Méthode d'application de fermeture cinématique

Rappel des notations : $\{\mathcal{V}_{ji}\} = \begin{Bmatrix} 0 & U_{ji} \\ 0 & V_{ji} \\ R_{ji} & 0 \end{Bmatrix}_P^{\mathcal{B}_k}$ ou $\begin{Bmatrix} 0 & v_{ji}^x \\ 0 & v_{ji}^y \\ \omega_{ji}^z & 0 \end{Bmatrix}_P^{\mathcal{B}_k}$

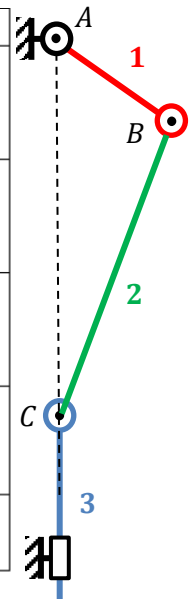
Réaliser le graphe des liaisons présentant $\gamma = L - P + 1$ chaînes fermées indépendantes. Il faut réaliser γ fermetures cinématiques indépendantes. En 2D, on obtient donc $E_c = 3\gamma$ équations linéaires à résoudre dans lesquelles les inconnues sont les paramètres cinématiques (R_{ji}, U_{ji}, V_{ji}).

Pour chaque chaîne fermée, écrire la fermeture cinématique associée : $\{\mathcal{V}_{21}\} + \{\mathcal{V}_{10}\} + \{\mathcal{V}_{03}\} + \{\mathcal{V}_{32}\} = \{0\}$



Exprimer les torseurs en un même point		
$\{\mathcal{V}_{32}\} = \begin{Bmatrix} 0 & 0 \\ 0 & 0 \\ R_{32} & 0 \end{Bmatrix}_C^{\mathcal{B}_0}$	$\{\mathcal{V}_{32}\} = \begin{Bmatrix} R_{32}\vec{z}_0 \\ -L_2 R_{32}\vec{y}_2 \end{Bmatrix}_B$	$\vec{V}(B, 3/2) = \vec{V}(C, 3/2) + \vec{BC} \wedge \vec{\Omega}_{32}$ $= L_2 \vec{x}_2 \wedge R_{32} \vec{z}_2 = -L_2 R_{32} \vec{y}_2$
$\{\mathcal{V}_{21}\} = \begin{Bmatrix} 0 & 0 \\ 0 & 0 \\ R_{21} & 0 \end{Bmatrix}_B^{\mathcal{B}_0}$	$\{\mathcal{V}_{21}\} = \begin{Bmatrix} R_{21}\vec{z}_0 \\ \vec{0} \end{Bmatrix}_B$	RAS
$\{\mathcal{V}_{10}\} = \begin{Bmatrix} 0 & 0 \\ 0 & 0 \\ R_{10} & 0 \end{Bmatrix}_A^{\mathcal{B}_0}$	$\{\mathcal{V}_{10}\} = \begin{Bmatrix} R_{10}\vec{z}_0 \\ L_1 R_{10}\vec{y}_1 \end{Bmatrix}_B$	$\vec{V}(B, 3/2) = \vec{V}(A, 3/2) + \vec{BA} \wedge \vec{\Omega}_{32}$ $= -L_1 \vec{x}_1 \wedge R_{10} \vec{z}_1 = L_1 R_{10} \vec{y}_1$
$\{\mathcal{V}_{03}\} = \begin{Bmatrix} 0 & 0 \\ 0 & V_{03} \\ 0 & 0 \end{Bmatrix}_B^{\mathcal{B}_0}$	$\{\mathcal{V}_{03}\} = \begin{Bmatrix} \vec{0} \\ V_{03}\vec{y}_0 \end{Bmatrix}_B$	RAS

Important : ne pas garder la notation verticale afin d'éviter des projections qui pourraient gêner la suite et ne pas faire apparaître de $\dot{\lambda}$ ou $\dot{\theta}$



Obtenir les deux équations vectorielles de la fermeture : $\begin{Bmatrix} (R_{32} + R_{21} + R_{10})\vec{z}_0 \\ V_{03}\vec{y}_0 + L_1 R_{10}\vec{y}_1 - L_2 R_{32}\vec{y}_2 \end{Bmatrix}_B = \begin{Bmatrix} \vec{0} \\ \vec{0} \end{Bmatrix}$

Choisir une base de projection pour obtenir les 3 équations scalaires de la fermeture :

$$\begin{cases} R_{32} + R_{21} + R_{10} = 0 \quad (1) \\ -L_1 \sin \theta_{10} R_{10} + L_2 \sin(\theta_{21} + \theta_{10}) R_{32} = 0 \quad (2) \\ V_{03} + L_1 \cos \theta_{10} R_{10} - L_2 \cos(\theta_{21} + \theta_{10}) R_{32} = 0 \quad (3) \end{cases} \Leftrightarrow \begin{bmatrix} 1 & 1 & 1 & 0 \\ -L_1 \sin \theta_{10} & 0 & L_2 \sin(\theta_{21} + \theta_{10}) & 0 \\ L_1 \cos \theta_{10} & 0 & -L_2 \cos(\theta_{21} + \theta_{10}) & 1 \end{bmatrix} \begin{bmatrix} R_{10} \\ R_{21} \\ R_{32} \\ V_{03} \end{bmatrix} = \begin{bmatrix} 0 \\ 0 \\ 0 \end{bmatrix}$$

Remarque : tout paramètre géométrique est supposé connu, une résolution géométrique ayant au préalable permis de les déterminer en fonction de l'entrée.

Résoudre le système linéaire en fonction de l'entrée donnée (R_{10} ici) : $\begin{cases} R_{32} = f_1(R_{10}) \\ R_{21} = f_2(R_{10}) \\ V_{30} = f_3(R_{10}) \end{cases}$

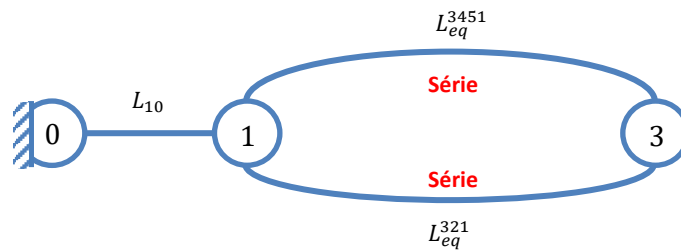
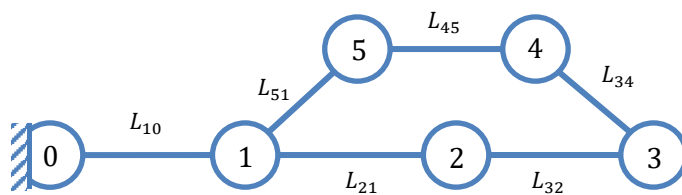
Pour un mécanisme plan à une mobilité, il y a 4 inconnues, 3 équations par chaîne et 1 inconnue fixée (entrée).

Il est possible de résoudre ce système numériquement ainsi :

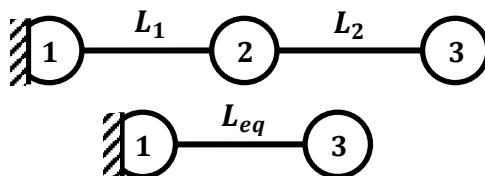
$$\begin{bmatrix} 1 & 1 & 0 \\ 0 & L_2 \sin(\theta_{21} + \theta_{10}) & 0 \\ 0 & -L_2 \cos(\theta_{21} + \theta_{10}) & 1 \end{bmatrix} \begin{bmatrix} R_{21} \\ R_{32} \\ V_{03} \end{bmatrix} = \begin{bmatrix} -R_{10} \\ L_1 \sin \theta_{10} R_{10} \\ -L_1 \cos \theta_{10} R_{10} \end{bmatrix}$$

Liaisons équivalentes

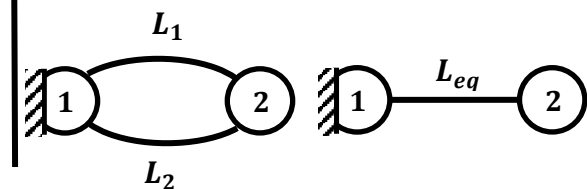
Si besoin, décomposer le problème en sous problèmes



Liaisons en série



Liaisons en parallèle



Choisir un point P

(Liaison reconnue ? Point commun ? Quel déplacement ?)

Choisir une base B

(Liaison reconnue ? Base commune ? Vecteur de déplacement ?)

$$\text{Poser } \{\mathcal{T}_{n/1}\} = \begin{Bmatrix} X_{n/1} & L_{n/1} \\ Y_{n/1} & M_{n/1} \\ Z_{n/1} & N_{n/1} \end{Bmatrix}_P^{\mathcal{B}}$$

$$\text{Utiliser } \{\mathcal{V}_{n/1}\} = \{\mathcal{V}_{n/n-1}\} + \dots + \{\mathcal{V}_{2/1}\}$$

Indicer les différentes liaisons :

$$\{\mathcal{V}_{2/1}^1\}, \{\mathcal{V}_{2/1}^2\} \dots \{\mathcal{V}_{2/1}^n\}$$

$$\text{Utiliser } \{\mathcal{V}_{2/1}\} = \{\mathcal{V}_{2/1}^1\} = \dots = \{\mathcal{V}_{2/1}^n\}$$

Exprimer les torseurs au même point P et dans la même base \mathcal{B}

Déterminer le torseur équivalent

Etudier si l'ensemble des 6 composantes forme une famille libre ou non

Si normalisée, proposer nom et EG de la liaison

Dépendance entre colonnes ? Mauvais choix de point ?

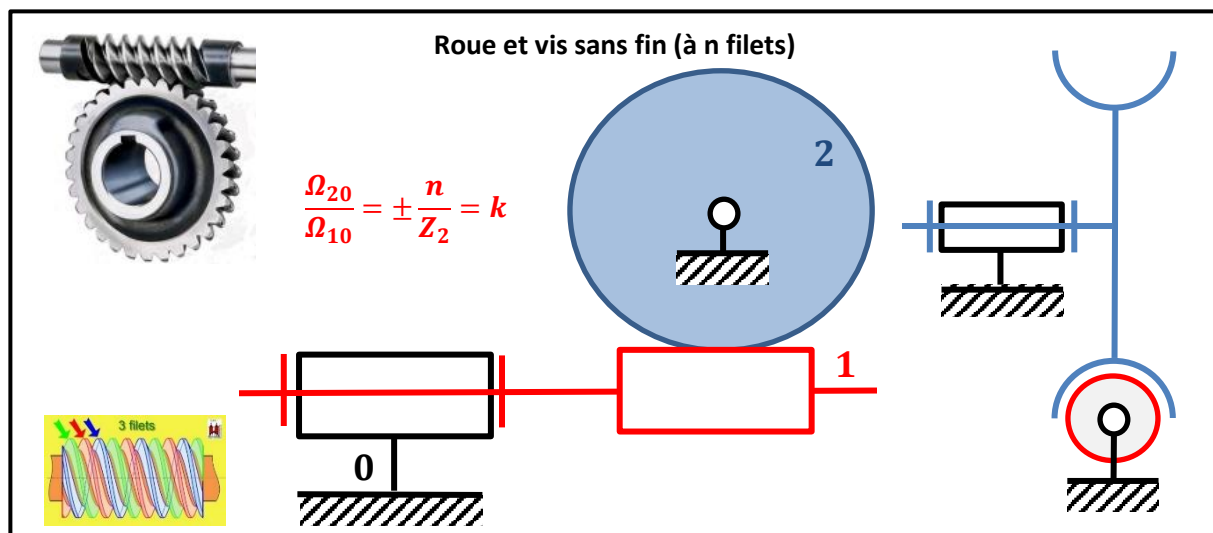
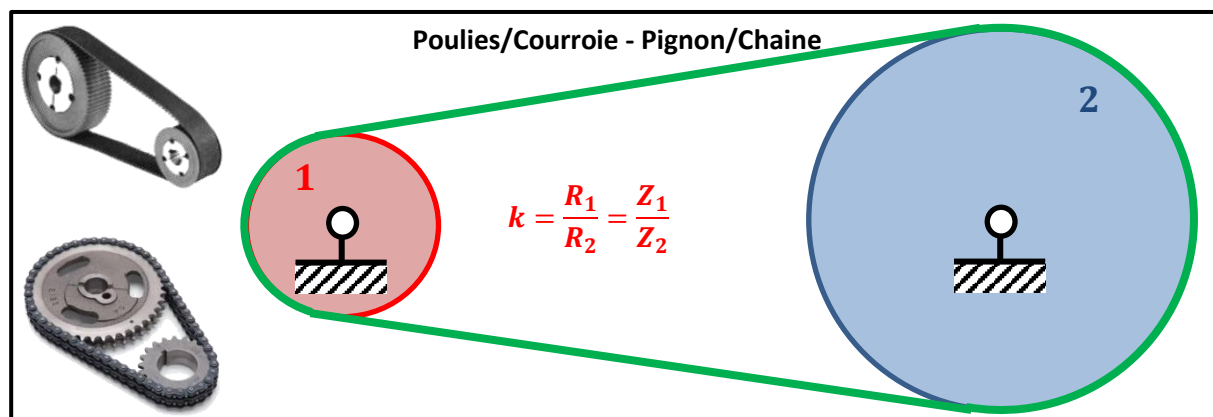
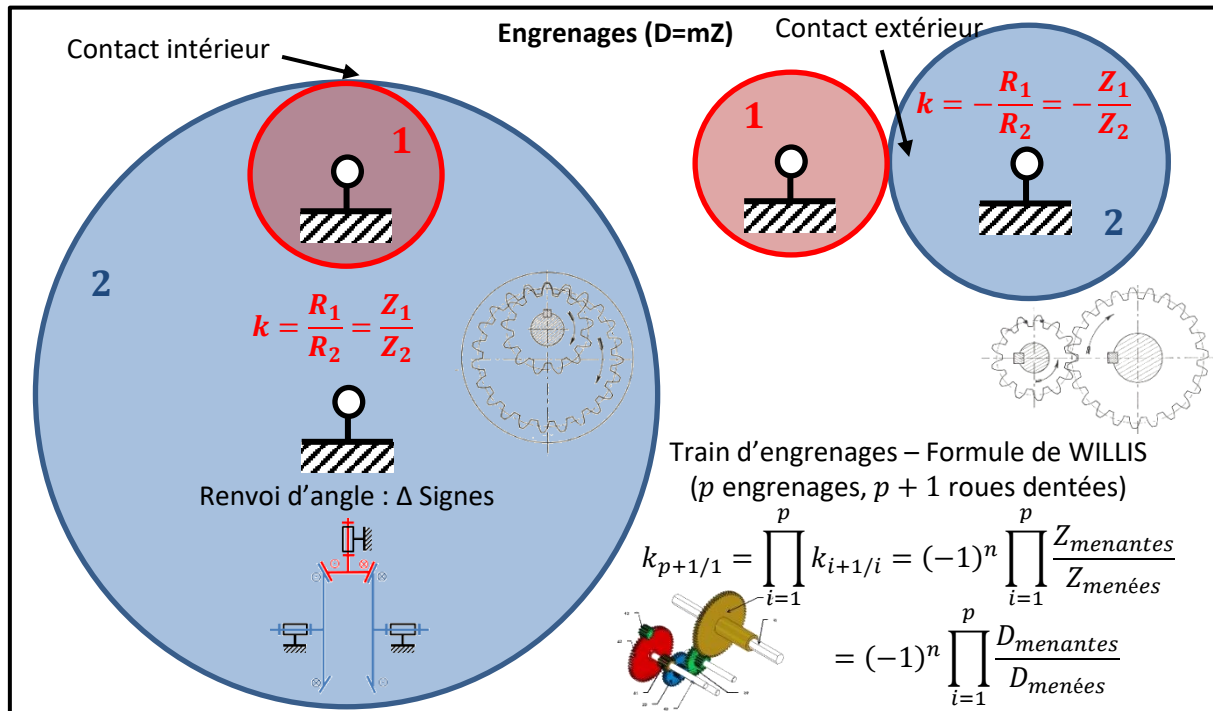
Dépendances similaire entre composantes des deux colonnes ? Mauvais choix de base ?

Dernière mise à jour	MECA1	Denis DEFAUCHY
05/04/2023	Cinématique	Résumé


Transformation du mouvement

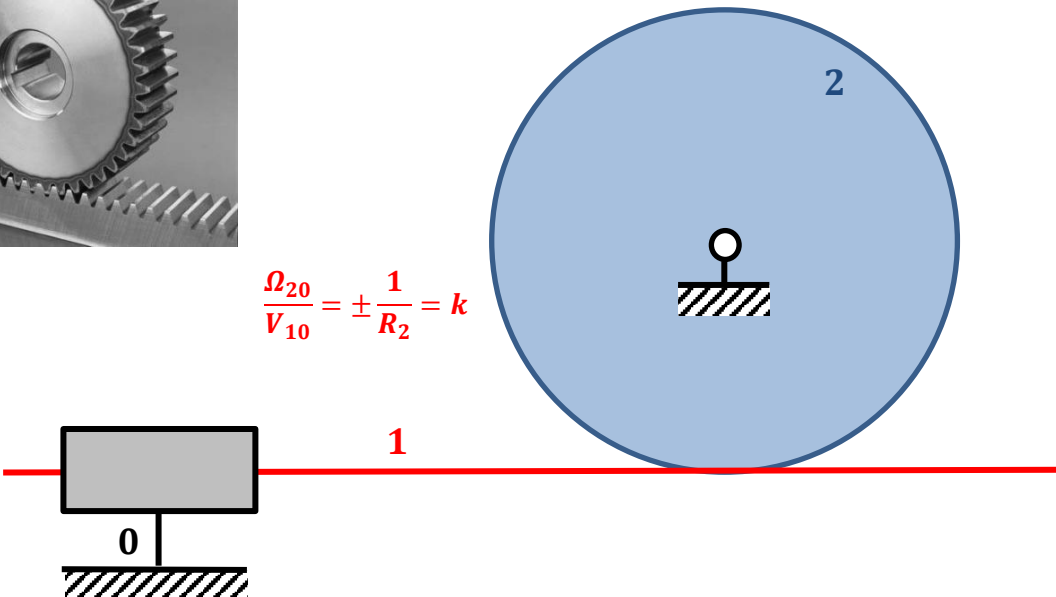
Tout rapport de réduction est donné sous la forme $k = \frac{Mvt_{20}}{Mvt_{10}}$

L'action 1 est $Ext \rightarrow 1$ et l'action 2 est $Ext \rightarrow 2$ (sinon, les signes changent)



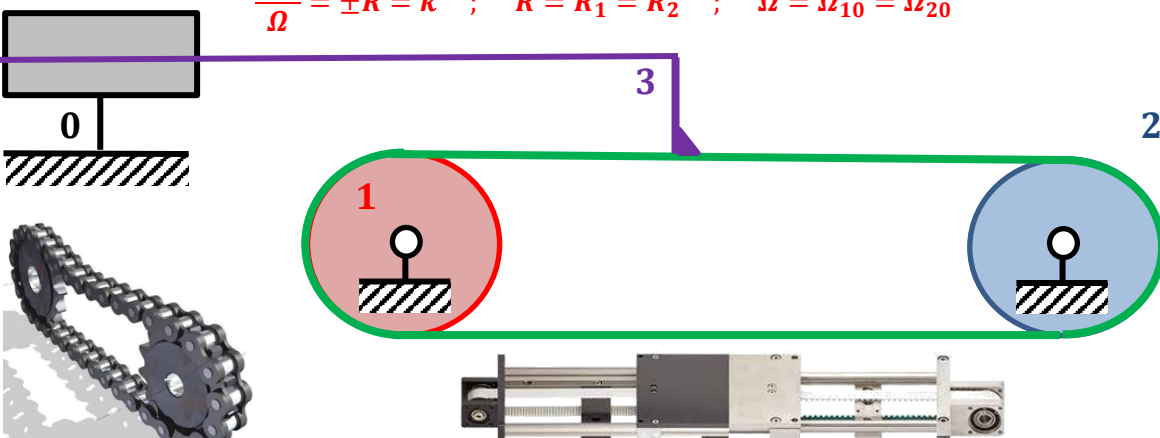
Pignon/Crémaillère





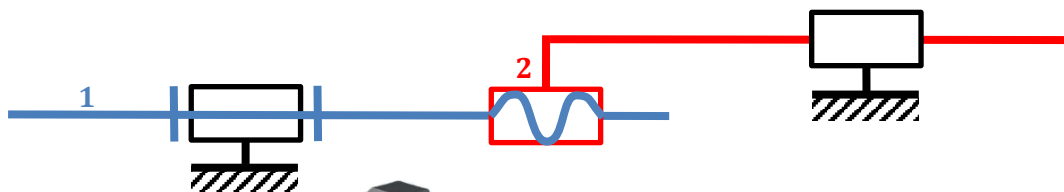
$$\frac{\Omega_{20}}{V_{10}} = \pm \frac{1}{R_2} = k$$

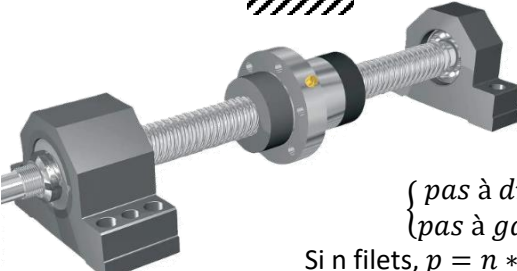
Poulie/Courroie – Pignon/Chaine

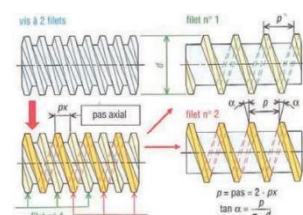


$$\frac{V_{30}}{\Omega} = \pm R = k \quad ; \quad R = R_1 = R_2 \quad ; \quad \Omega = \Omega_{10} = \Omega_{20}$$

Hélicoïdale/Vis écrou







$$\frac{V_{21}}{\Omega_{21}} = \frac{p}{2\pi}$$

$$\frac{V_{20}}{\Omega_{10}} = -\frac{p}{2\pi} = k$$

$\begin{cases} \text{pas à droite } p > 0 \\ \text{pas à gauche } p < 0 \end{cases}$
 Si n filets, $p = n * p_x$ avec p_x pas axial

